

καὶ διαρρήξεων τοῦ μαρμάρου, ἀποτίθενται δὲ ἐντὸς αὐτῶν ὡς καὶ ἐντὸς καρστικῶν κοιλοτήτων τοῦ μαρμάρου. Ἐντὸς τῶν δευτερογενῶν τούτων ἀποθέσεων μαγγανιούχου μεταλλεύματος συναντῶνται σπανιότερον καὶ τεμάχια πρωτογενοῦς μεταλλεύματος συνήθως γωνιώδη ἢ καὶ ἔλαφρῶς ἀπεστρογγυλευμένα, ἀτινα ἀπεσπάσθησαν ἀπὸ πρωτογενῆ κοιτάσματα καὶ μετεφέρθησαν ὑπὸ τῶν ὑπογείων ὑδάτων ἐντὸς κοιλοτήτων τοῦ μαρμάρου.

ΧΗΜΕΙΑ ΤΡΟΦΙΜΩΝ. — Μελέτη περὶ τῶν μὴ ζυμωσίμων σακχάρων τῶν σταφυλῶν καὶ τῶν σταφίδων διὰ χρωματογραφίας χάρτου, ὑπὸ *Λυσ. Νιννῆ καὶ Μαρίας Μπιρμπίλη - Νιννῆ**. Ἀνεκοινώθη ὑπὸ τοῦ κ. Ἐμμ. Ἐμμανουὴλ¹.

Εἶναι γνωστὸν ὅτι κατὰ τὴν παρασκευὴν τοῦ οἴνου, ὁσονδήποτε τελεία καὶ ἀνγίνη ἢ ζύμωσις, παραμένει πάντοτε ποσότης ἀναγόντων σακχάρων εἰς ἀναλογίαν μικροτέραν τῶν 2 γρ. ἀνὰ λίτρον. Οὕτω κατὰ τὸν Cl. Tarantola¹ ὁ οἶνος περιέχει πεντόζας, ὑπολογιζομένας εἰς ἀραβινόζην εἰς ἀναλογίαν 0,5 - 1,99 ἀνὰ λίτρον. Ἐπίσης οἱ W. Büchi καὶ H. Deul² ἀπεμόνωσαν ἐκ λευκῶν σταφυλῶν τῆς ποικιλίας Rauschling πολυσακχαρίτην εἰς ἀναλογίαν 0,014 % τῆς κάτωθι συστάσεως:

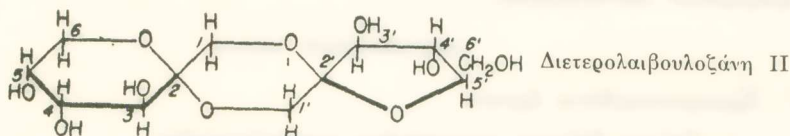
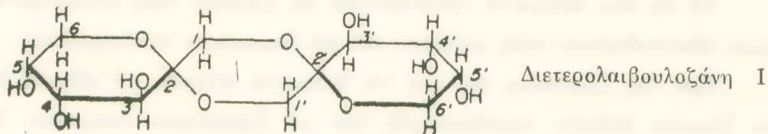
D - γαλακτόζη	34,4 %
D - μαννόζη	19,5 %
L - ἀραβινόζη	15,9 %
L - ραμνόζη	12,1 %
D - γαλακτουρονικὸν δέξι	16,2 %

Σκοπὸς τῆς παρούσης ἐργασίας ὑπῆρξεν ἀφ' ἐνὸς ἢ ἔρευνα τῶν μὴ ζυμωσίμων σακχάρων τῶν σταφυλῶν καὶ ἀφ' ἐτέρου ἢ ἀναζήτησις τῶν τυχόν σχηματιζομένων προϊόντων ἀλλοιώσεως τοῦ ἴμβρτοσακχάρου κατὰ τὴν ξήρανσιν τῶν σταφυλῶν πρὸς παρασκευὴν σταφίδων. Πράγματι ἡτο πολὺ πιθανὸν νὰ σχηματίζωνται τὰ προϊόντα ταῦτα δεδομένου ὅτι οἱ L. Sattler καὶ F. Zerbanī³ εἰς σειρὰν ἐργασιῶν των ἔδειξαν ὅτι πυκνὰ ὑδατικὰ διαλύματα φρουκτόζης, θερμαινόμενα ἐπὶ μακρόν, σχηματίζουν προϊόντα ἀφυδατώσεως καὶ διασπάσεως αὐτῆς. Διὰ νὰ ἔρευνηθοῦν τὰ προϊόντα αὐτὰ ἀπομακρύνεται ἢ μὴ ἀλλοιωθεῖσα φρουκτόζη διὰ ζυμώσεως μὲ συνήθη ἀρτοζύμην. Τὸ μὴ ζυμώσιμον ὑπόλειμμα, μετὰ τὴν ἀπομάκρυνσιν τῆς ζύμης διὰ διηθήσεως καὶ τῶν πτητικῶν ἀναγωγικῶν ὑλῶν, ὡς ἡ 3-ὑδροξυ-2-βουταιόνη, ἡ ὑδροξυ-2-προπανόνη

* LYS. NINNIS and MARIA BIRBILI - NINNI, The study of the non- fermentable sugars of the grapes and raisins by paper chromatography.

¹ Ἀνεκοινώθη κατὰ τὴν Συνεδρίαν τῆς 31 Ιανουαρίου 1957.

καὶ ἡ πυροσταφυλικὴ ἀλδεύδη, διὸ ἀποστάξεως ἐν κενῷ, ἔξακολουθεῖ νὰ ἀνάγῃ τὸ φελίγγειον ὑγρόν. Εἰς τὸ ὑπόλειμμα αὐτὸ ἀνευρέθησαν οἱ δύο ἀνυδρῖται τῆς διφρου-κτόζης, διετερολαιβουλοζάνη I καὶ II⁴.



Ἐκ τούτων ἡ διετερολαιβουλοζάνη I εἶναι διανυδρίτης δι-D-φρουκτοπυρανόζης 1,2':2,1' καὶ ἡ διετερολαιβουλοζάνη II διανυδρίτης D-φρουκτοπυρανόζης-D-φρουκτο-φουρανόζης 1,2':2,1'. Ο τύπος τῆς τελευταίας ἀπεδείχθη ὑπὸ τοῦ Wolfrom καὶ τῶν συνεργατῶν του⁵.

Οἱ H. C. S. De Whalley, N. Albon καὶ D. Gross⁶ κατὰ τὴν θέρμανσιν διαλυμάτων καλαμοσακχάρου ἀνεῦρον διὰ χρωματογραφίας χάρτου εἰς τὸ μὴ ζυμού-μενον ὑπόλειμμα προϊόντα διασπάσεως τῆς φρουκτόζης ἀνάλογα πρὸς τὰ ἀνευρεθέντα ὑπὸ τῶν προηγουμένων ἐρευνητῶν. Συγκεκριμένως ἀνεῦρον τὰς διετερολαιβουλοζάνας καὶ ἔνωσίν τινα, ἥτις κατὰ πᾶσαν πιθανότητα εἶναι ἡ ἀλλούλοζη, ἡ ἐπιμερής φρου-κτόζη ἡ ἀπομονωθεῖσα ὑπὸ τῶν Sattler καὶ Zerban⁷, ἥτις εἶχε Rf κατά τι μεγα-λύτερον τῆς φρουκτόζης.

Ἐκτὸς τῶν ἀνωτέρω ὑλῶν τὸ μὴ ζυμώσιμον ὑπόλειμμα περιεῖχε καὶ ἄλλην τινά ἔνωσιν ἔχουσαν Rf μεγαλύτερον τῆς ἀλλούλοζης. Ή ἔνωσις αὕτη ἦτο κετονικῆς φύσεως, πιθανῶς ὁ μονομερής ἀνυδρίτης τῆς φρουκτόζης. Ή ἀνωτέρω ἔνωσις κατὰ τὴν παραμονὴν ἐντὸς ὅδατος μετετρέπετο βραδέως εἰς διετερολαιβουλοζάνην⁸ καὶ διὰ φαινούσυνδραζίνης ἔδωσε φαινούλογλυκοζαζόνην σ.τ.198°.

Η ὑπαρξίς ἀναλόγων προϊόντων ἐντὸς τῶν ξηρῶν σταφίδων δὲν ἔχει μόνον ἐπιστημονικὴν σημασίαν διὰ τὸ φαινόμενον τῆς ξηράνσεως ἀλλὰ καὶ ἀναλυτικήν, διότι ἡ ἀνίχνευσις αὐτῶν θὰ ἐπιτρέψῃ τὴν διάκρισιν τοῦ χυμοῦ σταφυλῶν ἀπὸ τοῦ ψυχροῦ ἐκχυλίσματος σταφίδων.

Πρὸς τὸν σκοπὸν αὐτὸν ἐλήφθησαν ἐν τῷ ἐργαστηρίῳ διὰ πιέσεως χυμοὶ νω-πῶν σταφυλῶν διαφόρων ποικιλιῶν (κορινθιακὴ μαύρη σταφίς, σουλτανίνα, ροδίτης, φράουλα καὶ ροζακιά). Διὰ τὴν μελέτην τῆς ἐπιδράσεως τῆς θερμοκρασίας ἐπὶ τοῦ

γλεύκους ισάριθμα δείγματα νωπῶν χυμῶν ὑπεβλήθησαν εἰς θέρμανσιν ἐντὸς ὑδρολούτρου 95° ἐπὶ τετράρων. Ἐπίσης ἐλήφθησαν εἰς θερμοκρασίαν 5-10 βαθμῶν ψυχρὰ ἐκχυλίσματα μαύρης σταφίδος καὶ σουλτανίνας.

Τὰ ὡς ἄνω δείγματα ὑπεβλήθησαν εἰς ζύμωσιν πρὸς ἀπομάκρυνσιν τῶν ζυμώσιμων ὑδατανθράκων πρὸς μελέτην τοῦ μὴ ζυμωσίμου ὑπολείμματος.

Πρὸ τῆς ζυμώσεως εἰς ὅλα τὰ δείγματα ἐλήφθη τὸ εἰδικὸν βάρος, μετὰ δὲ τὴν ζυμώσιν ἐγένετο προσδιορισμὸς τῶν μὴ ζυμωσίμων σακχάρων διὰ φελιγγείου ὑγροῦ κατὰ Schoorl καὶ Regenbogen ὡς καὶ χρωματογραφικὴ ἀνίχνευσις τῶν περιεχομένων ὑδατανθράκων.

ΠΕΙΡΑΜΑΤΙΚΟΝ ΜΕΡΟΣ

α' . Χρησιμοποιηθέντα ὅργανα

1. Υάλινος θάλαμος κατερχομένης χρωματογραφίας.
2. Ἐπωαστικὸς θάλαμος ἀκριβείας $\pm 0,5^{\circ}$.
3. Κλασματῆρες κενοῦ τύπου Claissen μετ' ἐσμυρισμένων πωμάτων.
4. Χρωματογραφικαὶ στῆλαι διαστάσεων 2×10 cm.
5. Ψεκαστήρη πεπιεσμένου ἀέρος.
6. Ζυγός Mohr ἀκριβείας $\pm 0,0005$.
7. Πυριατήριον ἀκριβείας $\pm 1,0^{\circ}$.

β' . Χρησιμοποιηθεῖσαι ἔλαια.

1. Διηθητικὸς χάρτης διὰ χρωματογραφίαν Whatman No. 1.
2. Ἀνιοναγταλλακτικὴ ρητίνη Duolite A₄, ἀσθενῶς βασική, κατασκευῆς Chemical Process Co. Ἀναγέννησις διὰ διαβιβάσεως διαλύματος ἀνθρακικοῦ νατρίου 5% εἰς ἀναλογίαν 50 ml ἀνὰ γρ. ρητίνης, καὶ ἐκπλυσις δι' ἀπεσταγμένου ὑδατος ἔως ὅτου τὸ ὕδωρ τῆς ἐκπλύσεως δὲν ἔδιδε ἀντίδρασιν ἀξαλικήν ὡς πρὸς φαινολοφθαλεῖνην.
3. Κατιονανταλλακτικὴ ρητίνη Duolite C-20, ισχυρῶς ὅξινος, κατασκευῆς Chemical Process Co. Ἀναγέννησις διὰ διαβιβάσεως ὕδροχλωρικοῦ ὅξεος 5%, εἰς ἀναλογίαν 50 ml ἀνὰ γρ. ρητίνης καὶ ἐκπλυσις δι' ἀπεσταγμένου ὑδατος μέχρις ὅτου τὸ ὕδωρ τῆς ἐκπλύσεως δὲν ἔδιδε ἀντίδρασιν ὅξινον ὡς πρὸς ἡλιανθίνην.
4. Διάλυμα ὅξαλικῆς ἀνιλίνης. Παρασκευάζεται διὰ διαλύσεως 0,9 ml ἀνιλίνης, προσφάτως ἀποσταχθείσης, ἐντὸς 0,1 N διαλύματος ὅξαλικοῦ ὅξεος.
5. Ἀλκοολικὸν διάλυμα α·ναφθόλης 1% ἀναμειγνύεται μετὰ φωσφορικοῦ ὅξεος εἰδ. β. 1,71 εἰς ἀναλογίαν 10 : 1 κατ' ὅγκον.
6. Ἀμμωνιακὸν διάλυμα νιτρικοῦ ἀργύρου. Διάλυμα νιτρικοῦ ἀργύρου 5% ἀναμειγνύεται μετὰ πυκνῆς ἀμμωνίας μέχρις ἀναδιαλύσεως τοῦ σχηματιζομένου ιζήματος.

7. Κανονική προπυλική ἀλκοόλη E. Merck.
8. Κανονική βουτυλική ἀλκοόλη E. Merck.
9. Ὁξείδης αἰθυλεστήρ E. Merck.

γ'. Χρησιμοποιηθεῖσαι μέθοδοι.

1. Προσδιορισμὸς ἀναγόντων σακχάρων κατὰ Schoorl-Regenbogen⁹.
 2. Προσδιορισμὸς μὴ ζυμωσίμων σακχάρων. Πρὸς τοῦτο ἐλήφθησαν 100 ml χυμοῦ, προσετέθη 1,0 ml αἰωρήματος ἀρτοζύμης 20% καὶ ἀφέθησαν πρὸς ζύμωσιν ἐντὸς ἐπωαστικοῦ κλιβάνου 25° ἐπὶ 10-15 ἡμέρας. Η ζύμωσις ἐπερατοῦτο ὅταν 0,005 ml τοῦ ζυμουμένου ύγρου δὲν ἔδεικνυσσεν κατὰ τὴν χρωματογράφησιν τὴν παρουσίαν γλυκόζης καὶ φρουκτόζης. Ἐν συνεχείᾳ ἀπεχωρίζετο ἡ ζύμη διὰ ποσοτικῆς διηθήσεως καὶ τὸ διηθήμα διεβιβάζετο διὰ στηλῶν C-20 τὸ πρῶτον καὶ A-4 κατόπιν πρὸς ἀπομάκρυνσιν τῶν ιόντων καὶ χρωστικῶν ὑλῶν τοῦ χυμοῦ. Ο οὕτω κατεργασθεὶς χυμὸς ὑπέστη συμπύκνωσιν ἐν κενῷ 40 ml. Ήγένετο ἔξι ὑδρολούτρου θερμοκρασίας 30-40°. Τὸ ληφθὲν μετὰ τὴν συμπύκνωσιν ύγρὸν συνεπληρώθη εἰς ὅγκον 10 ml καὶ ἐχρησιμοποιήθη διὰ τὸν προσδιορισμὸν τῶν μὴ ζυμωσίμων σακχάρων κατὰ Schoorl-Regenbogen καὶ τὴν χρωματογραφικὴν ἀνίχνευσιν τῶν περιεχομένων ὑδατανθράκων.

3. Χρωματογραφικὴ ἀνίχνευσις ὑδατανθράκων. Ἐπὶ τεμαχίου διηθητικοῦ χάρτου διαστάσεων 30×22 cm καὶ εἰς ἀπόστασιν 5 cm ἀπ' ἀλλήλων ἐτοποθετήθησαν σταγόνες 0,010 ml ἐκ τοῦ ἔξεταζομένου διαλύματος. Μετὰ τὴν ξήρανσιν τῶν σταγόνων ὁ χάρτης ἐτοποθετήθη ἐντὸς τοῦ θαλάμου ἐπὶ τετράωρον πρὸς ἔξισορρόπησιν καὶ ἐν συνεχείᾳ ἀφέθη νὰ ρεύσῃ ἐντὸς τοῦ σκαφιδίου ὁ διαλύτης.

Εἰς ἑκάστην περίπτωσιν ἐχρησιμοποιήθησαν τὰ ἀκόλουθα δύο συστήματα διαλυτῶν.

α'. Κανονικὴ προπυλικὴ ἀλκοόλη: Ὁξείδης αἰθυλεστήρ: ὕδωρ 70:20:10 κατ' ὅγκον.

β'. Κανονικὴ βουτυλικὴ ἀλκοόλη: Ὁξείδης ὕδωρ 50:40:10 κατ' ὅγκον.

Εἰς ἀμφότερα τὰ συστήματα διαλυτῶν ἐφηρμόσθη συνεχῆς ροὴ τοῦ διαλύτου ἐπὶ 24ωρον εἰς τὸ πρῶτον καὶ ἐπὶ 48ωρον εἰς τὸ δεύτερον.

Μετὰ τὴν πάροδον τοῦ ἀνωτέρω χρονικοῦ διαστήματος τὰ χρωματογραφήματα ἀπεμακρύνθησαν τοῦ θαλάμου καὶ ἀφέθησαν εἰς τὸν ἀέρα πρὸς ξήρανσιν. Ἐν συνεχείᾳ ἐψεκάσθησαν ἀπὸ τὰς δύο πλευράς.

Τὰ ψεκασθέντα δι' ἀντιδραστηρίου ὥξαλικῆς ἀνιλίνης ἐθερμάνθησαν ἐντὸς πυριατηρίου θερμοκρασίας 105° ἐπὶ 10-20 λεπτὰ πρὸς ἐμφάνισιν τῶν κηλίδων. Τὰ ἀνάγοντα σάκχαρα ἐμφανίζονται ὑπὸ μορφὴν κιτρινοκαστανῶν κηλίδων, αἱ δὲ ἀλδοπεντόζαι ὑπὸ μορφὴν ἐρυθρῶν κηλίδων. Ὁριον ἀνιχνεύσεως 2-5 μg.

Τὰ ψεκασθέντα δι' ἀντιδραστηρίου α-ναφθόλης ἐθερμάνθησαν εἰς θερμοκρασίαν 90° μέχρις ἐμφανίσεως κυανοϊώδῶν κηλίδων. Διὰ τοῦ ἀντιδραστηρίου τούτου ἐμφανίζονται μόνον αἱ κετόζαι³, ὡς ἐκ τούτου εἶναι εἰδικὸν ἀντιδραστήριον διὰ φρουκτόζην, καλαμοσάκχαρον καὶ ραφινόζην. "Οριον ἀνιχνεύσεως 5 μg.

Τὰ ψεκασθέντα δι' ἀντιδραστηρίου ἀμμωνιακοῦ ἀργύρου ἐθερμάνθησαν εἰς 105° μέχρις ἐμφανίσεως μελανῶν κηλίδων. Διὰ τοῦ ἀντιδραστηρίου τούτου ἐμφανίζονται ὅλοι οἱ διατάνθρακες καὶ αἱ πολυαλκοόλαι. "Οριον ἀνιχνεύσεως 1·5 μg.

Τὰ ἀποτελέσματα τῶν προσδιορισμῶν, ἥτοι τὸ εἰδικὸν βάρος, τὸ ποσὸν τῶν μὴ ζυμωσίμων σακχάρων ἐκπεφρασμένον εἰς ίμβερτοσάκχαρον καὶ ὁ ἀριθμὸς τῶν παρατηρηθεισῶν κατὰ τὴν χρωματογράφησιν κηλίδων ἀναγράφονται εἰς τὸν παρατιθέμενον κατωτέρῳ πίνακα: I.

Σχόλια ἐπὶ τοῦ πειραματικοῦ μέρους.

Εἰς δλας τὰς περιπτώσεις ἔχρησιμοποιήθη συνεχῆς χρωματογράφησις, ἵνα καταστῇ δυνατὴ ἡ διάκρισις ἐνώσεων παραπληγίου Rf εἰς μίαν διάστασιν. Πρὸς τοῦτο ὁ χάρτης ἐκόπη εἰς τὸ κάτω ἄκρον κατὰ τοιοῦτον τρόπον, ὥστε νὰ σχηματίζωνται ἀκμαὶ εἰς συμμετρικὰς ἀποστάσεις καὶ ὁ διαλύτης ἀφέθη νὰ ἔκρεη ἐκ τῶν ἀκμῶν. Ὡς ἐκ τούτου διὰ τὸν χαρακτηρισμὸν τῶν ἐμφανισμεισῶν κηλίδων ἔχρησιμοποιήθη ἀντὶ τῆς Rf ἢ Rξ, ἥτις εἶναι ὁ λόγος τῆς διανυθείσης ἀποστάσεως ὑφ' ἐκάστης κηλίδος ἐκ τῆς ἀφετηρίας πρὸς τὴν ἀπόστασιν τὴν διποίαν διήγουσεν ὑπὸ τὰς αὐτὰς συνθήκας γνωστὴ κηλίς ξυλόζης ἐπὶ τοῦ αὐτοῦ χρωματογραφήματος.

Εἰς τὸ σύστημα προπολικῆς ἀλκοόλης: δξικοῦ αἰθυλεστέρος: διδατος, εἰς τὰ δείγματα νωπῶν χυμῶν ἐμφανίζονται δι' ὀξαλικῆς ἀνιλίνης καὶ ἔξης κηλίδες. Κηλίς α κιτρινοκαστανὴ Rξ 0,18, β κιτρινοκαστανὴ Rξ 0,37, γ κιτρινοκαστανὴ Rξ 0,66, δ ροδόχρους Rξ 0,84 καὶ ε ροδόχρους Rξ 1.

Εἰς τὸ αὐτὸν σύστημα τὰ ψυχρὰ ἐκχυλίσματα ξηρῶν σταφίδων καὶ τὰ θερμανθέντα δείγματα νωπῶν χυμῶν, παρουσιάζουν δύο ἀκόμη κηλίδας τὰς ζ καὶ η συγχεομένας ὑπὸ μορφὴν ἐπιμήκους κηλίδος κιτρινοκαστανοῦ χρώματος Rξ 1,27 καὶ 1,43. Ἐκ τῶν κηλίδων αὐτῶν αἱ δ καὶ ε ἀπεδείχθη διὰ συγχρωματογραφήσεως ὅτι ἔχουν τὴν αὐτὴν Rf πρὸς τὴν ἀραβινόζην ἢ δ καὶ πρὸς τὴν ξυλόζην ἢ ε. Διὰ διαφορικῆς ἐμφανίσεως τῶν κηλίδων ἐπὶ τοῦ αὐτοῦ χρωματογραφήματος ἀφ' ἐνὸς δι' ὀξαλικῆς ἀνιλίνης καὶ ἀφ' ἑτέρου δι' α-ναφθόλης ἀπεδείχθη ὅτι ἡ κηλίς ε δὲν εἶναι κετόζη, διότι δὲν ἐμφανίζεται διὰ τοῦ ἀντιδραστηρίου τῆς α-ναφθόλης. Εἰς τὴν θέσιν τῆς κηλίδος δ, ἥτις συμπίπτει πρὸς ἀραβινόζην, ἐμφανίζεται κετόζη τις ἐλαφρῶς μικροτέρας Rf. Πιθανῶς πρόκειται περὶ δύο κηλίδων, μιᾶς ἀλδοπεντόζης καὶ μιᾶς κετόζης (τῆς φρουκτόζης) ἀτελῶς διαχωρισθεισῶν. Αἱ λοιπαὶ κηλίδες τόσον τῶν νωπῶν χυμῶν

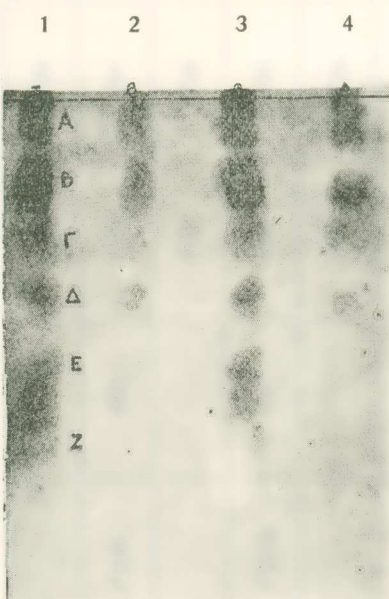
ΠΙΝΑΞ 1

α/α	Δ Ε Ι Γ Μ Α	ΕΙΔ. βάρος 20 ^o	Έπιχνηλισμα γρ. άνθλιτρον	Μή τυπωτότυπα άνθλιτρον	ΠΑΡΑΤΗΡΗΘΕΙΣΑΙ ΚΗΛΙΔΕΣ	
					Προπολική	Βουτιάκη
1	Χυμός νωτῆς αοριαθιακῆς σταρφίδος	1,0973	232	0,48	0,21	ΑΒΓΔ
2	Ψυγόδον ἐπιχύλισμα ξηρᾶς αορινθιακῆς σταφίδος	1,0784	190	1,51	0,79	ΑΒΓΔΕΖ
3	Χυμός νωτῆς σουλτανίνας	1,0802	194	0,43	0,22	ΑΒΓΔ
4	Χυμός νωτῆς σουλτανίνας φερινοθείς				αβγδεζη	ΑΒΓΔΕΖ
5	Ψυγόδον ἐπιχύλισμα ξηρᾶς σουλτανίνας	1,0838	202	1,31	0,65	ΑΓΓΔΕΖ
6	Χυμός ροδίτου	1,0954	228	0,38	0,17	ΑΒΓΔ
7	Χυμός ροδίτου φερι.			0,85	0,37	αβγδεζη
8	Χυμός φράουλας	1,0788	191	0,42	0,21	ΑΒΓΔ
9	Χυμός φράουλας θερι.			0,55	0,28	αβγδεζη
10	Χυμός φοξακί	1,100	238	0,49	0,21	ΑΒΓΔ
11	Χυμός φοξακί θερι.			0,90	0,38	ΑΒΔΔΕΖ

δσον καὶ τῶν θερμανθέντων καὶ τῶν ψυχρῶν ἐκχυλισμάτων ἔηρῶν σταφίδων ἐμφανίζονται διὰ α-ναφθόλης καὶ πρέπει νὰ ὀφείλωνται εἰς κετόζας ἢ παράγωγα αὐτῶν.

Εἰς τὸ σύστημα βουτυλικὴ ἀλκοόλη: ὁξιὸν ὁξὺ: βύδωρ, εἰς τὰ δείγματα νωπῶν χυμῶν ἐμφανίζονται δι’ ὁξαλικῆς ἀνιλίνης αἱ ἔξτης κηλίδες. Κηλὶς Α κιτρινοκαστανή Rξ 0,05, Β κιτρινοκαστανή Rξ 0,37, Γ ροδόχρους Rξ 0,78 καὶ Δ ροδόχρους Rξ 1,00 (πρβλ. χρωματογράφημα ὑπ’ ἀριθ. 1).

Εἰς τὸ αὐτὸν σύστημα τὰ ψυχρὰ ἐκχυλίσματα ἔηρῶν σταφίδων καὶ τὰ θερμανθέντα δείγματα νωπῶν χυμῶν παρουσιάζουν δύο ἀκόμη κηλίδας Ε καὶ Ζ Rξ 1,70



καὶ 1,87, συγχεομένας ὑπὸ τὴν μορφὴν ἐπιμήκους κηλίδος κιτρινοκαστανοῦ χρώματος. Ἐκ τῶν κηλίδων αὐτῶν αἱ Γ καὶ Δ ἀπεδείχθη διὰ συγχρωματογραφήσεως ὅτι ἔχουν τὴν αὐτὴν Rf πρὸς τὴν ἀραβινόζην ἢ Γ καὶ πρὸς τὴν ξυλόζην ἢ Δ. Διὰ διαφορικῆς ἐμφανίσεως τῶν κηλίδων ἐπὶ τοῦ αὐτοῦ χρωματογραφήματος ἀφ’ ἑνὸς δι’ ὁξαλικῆς ἀνιλίνης καὶ α-ναφθόλης ἀφ’ ἑτέρου ἀπεδείχθη ὅτι ἡ κηλὶς Δ δὲν εἶναι κετόζη. Εἰς τὴν θέσιν τῆς κηλίδος Γ, ἥτις συμπίπτει πρὸς τὴν ἀραβινόζην, ἐμφανίζεται κετόζη τις ἐλαφρῶς μικροτέρας Rf. Πιθανῶς πρόκειται περὶ δύο κηλίδων, μιᾶς ἀλδοπεντόζης καὶ μιᾶς κετόζης ἀτελῶς διαχωρισθεισῶν. Αἱ λοιπαὶ κηλίδες τόσον τῶν νωπῶν χυμῶν δσον καὶ τῶν θερμανθέντων καὶ τῶν ψυχρῶν ἐκχυλισμάτων ἔηρῶν σταφίδων ἐμφανίζονται διὰ α-ναφθόλης καὶ πρέπει νὰ ὀφείλωνται εἰς κετόζας ἢ παράγωγα αὐτῶν.

Ἡ χρησιμοποίησις ἀμμωνιακοῦ διαλύματος ἀργύρου διὰ τὴν ἐμφάνισιν τῶν κηλίδων

ἔδειξε περισσοτέρας κηλίδας, διότι διὰ τοῦ ἀντιδραστηρίου αὐτοῦ ἐμφανίζονται καὶ αἱ πολυαλκοόλαι. Οὕτως εἰς τὴν θέσιν τῶν κηλίδων Ζ, η καὶ Ε, Ζ, ἐμφανίζεται ἡ κηλὶς τῆς γλυκερίνης καὶ κατ’ αὐτὸν τὸν τρόπον δὲν εἶναι δυνατὴ ἡ ἀνίχνευσις τῶν κηλίδων αὐτῶν διὰ τοῦ ἀντιδραστηρίου τούτου. Ἡ παρουσία τῆς γλυκερίνης παρεμποδίζει ἵσως καὶ τὸν τέλειον χρωματογραφικὸν διαχωρισμὸν τῶν κηλίδων τῆς περιοχῆς αὐτῆς λόγῳ αὐξήσεως τῆς συγκεντρώσεως ἐπὶ τοῦ προσροφητοῦ.

Ἄξιοσημείωτον εἶναι ὅτι εἰς τὸ σύστημα, η-βουτυλικὴ ἀλκοόλη: ὁξιὸν ὁξὺ: βύδωρ

έμφανίζονται ἀπό τῆς ἀφετηρίας μέχρι καὶ τῆς θέσεως τῆς ξυλόζης τέσσαρες ἐν δλῳ αηλίδες, ἐνῷ εἰς τὸ σύστημα, η-προπυλική ἀλκοόλη: δξικός αιθυλεστήρ: ὕδωρ, έμφανίζονται πέντε. Φαίνεται ὅτι εἰς τὸ πρῶτον σύστημα δύο αηλίδες, πιθανῶς αἱ πλησέστεραι πρὸς τὴν ἀφετηρίαν, δὲν διαχωρίζονται λόγῳ μικροῦ καὶ παραπλησίου Rf.

Εἰς ἀμφότερα τὰ συστήματα ἐπὶ νωπῶν χυμῶν δὲν έμφανίζονται αηλίδες μεγαλυτέρου Rf τῆς ξυλόζης. Ἀντιθέτως οἱ θέρμανθέντες νωποὶ χυμοὶ καὶ τὰ ψυχρά ἐκχυλίσματα ξηρῶν σταφίδων έμφανίζουν κιτρινοκαστανοχρόους αηλίδας μεγαλυτέρου Rf τῆς ξυλόζης.

Τελικῶς ἐκ τῆς συγχρωματογραφήσεως καὶ εἰς τὰ δύο συστήματα διαλυτῶν εἶναι πολὺ πιθανὸν ὅτι αἱ δύο ἔρυθραι αηλίδες ὀφείλονται εἰς ἀραβινόζην καὶ ξυλόζην. Περαιτέρω ἐπιβεβαίωσις τῆς ταυτότητος τῶν δύο αὐτῶν ἐνώσεων δὲν ἔγενετο. Ἡ αηλίς ἡ ἀντιστοιχοῦσα εἰς τὴν ξυλόζην εἶναι τόσον σαφής, ὥστε δύναται νὰ χρησιμοποιηθῇ ἀντὶ ἀλλού μάρτυρος διὰ τὸν καθορισμὸν τῆς σχετικῆς ὡς πρὸς αὐτὴν θέσεως τῶν λοιπῶν αηλίδων τοῦ χρωματογραφήματος. Αἱ λοιπαὶ αηλίδες τόσον τῶν νωπῶν χυμῶν ὅσον καὶ τῶν ψυχρῶν ἐκχυλίσματων ξηρῶν σταφίδων ὀφείλονται εἰς ὀλιγοσταχχαρίτας, καὶ πιθανῶς εἰς ἀνυδροπαράγωγα τῆς φρουκτόζης ὡς τὰ παρατηρηθέντα ὑπὸ τοῦ Zerban. Ἡ ἔλλειψις καθαρῶν διετερολαϊθουλοζανῶν δὲν ἐπέτρεψε τὴν περαιτέρω ἔρευναν ἐπὶ τῆς ταυτότητος τῶν ἐνώσεων αὐτῶν. Πάντως τὸ γεγονός ὅτι αἱ αηλίδες αὐταὶ καθίστανται ἐντονώτεραι κατὰ τὴν θέρμανσιν τῶν νωπῶν χυμῶν ἐνισχύει τὴν ἀποψίαν αὐτήν.

Τὸ σπουδαιότερον ὄμως σημεῖον ἀπό ἀναλυτικῆς ἀπόψεως εἶναι αἱ αηλίδες μὲν μεγαλύτερον Rf τῆς ξυλόζης, διότι ἡ ἀνίχνευσις αὐτῶν ἐπιτρέπει τὴν διάκρισιν τῶν νωπῶν χυμῶν ἀπὸ τὰ ψυχρά ἐκχυλίσματα ξηρῶν σταφίδων. Τὸ γεγονός αὐτὸν ἐπιτρέψῃ πιθανῶς τὴν διάκρισιν τοῦ ξηροσταφιδίτου ἀπὸ τοῦ συγήθους οἴνου ἐκ χυμοῦ νωπῶν σταφυλῶν, ἐὰν ἀποδειχθῇ ὅτι ἡ συνήθης οἰνοποίησις δὲν συντελεῖ εἰς τὴν δημιουργίαν προϊόντων ἀλλοιώσεως τοῦ ιμβερτοσακχάρου, ἀναλόγων πρὸς τὰ παρατηρηθέντα εἰς τὰς σταφίδας καὶ τοὺς θέρμανθέντας χυμούς.

Ἡ παρατηρηθεῖσα τέλος κατὰ τὴν θέρμανσιν καὶ ξήρανσιν αὔξησις τῶν μὴ ζυμωσίμων ἀλλ᾽ ἀναγουσῶν τὸ φελίγγειον μὴ πτητικῶν ὑλῶν, ἀποτελεῖ ἐν ἀκόμη πολύτιμον ἀναλυτικὸν στοιχεῖον ἐπὶ τοῦ ζητήματος τούτου.

SUMMARY

The non-fermentable sugars of the grapes and raisins have been investigated by paper chromatography xylose, arabinose and four oligosaccharides and ketose compounds were found. There is a difference between grapes and raisins because the raisins only contain a spot moving in the chromatogram faster than the xylose. The same difference in the chromatogram was observed between fresh and heated grape juices.

ΒΙΒΛΙΟΓΡΑΦΙΑ

1. CLEMENTE TARANTOLA, Chemical Abstracts 1950, 11016. e.
2. W. BÜCHI und H. DEUL, *Helv. chim. Acta* 37, 1950, 1932, 8.
3. SATTLER and ZERBAN, *Ind. Eng. chem.* 37, 1945, 1133.
4. WOLFROM and BLAIR, *J. Am. Chem. Soc.*, 70, 1948, 2406.
5. WOLFROM, BINKLEY, SHILLING and HILTON, *J. Am. Chem. Soc.*, 73, 1951, 3553.
6. H. C. S. DE WHALLEY, N. ALBON and D. GROSS, *Analyst*, 76, 1951, 287.
7. SATTLER and ZERBAN, *Ind. Eng. Chem.* 34, 1942, 1180.
8. L. SATTLER, F. W. ZERBAN, C. L. CLARK and CHIA-CHEN CHU. N. ALBON, D. GROSS and H. C. S. DE WHALLEY, *Ind. Eng. Chem.*, 44, 1952, 1127.
9. Σ. ΓΑΛΑΝΟΣ, Χημεία Τροφίμων, τόμ. B. Αθήναι 1947, σελ. 180.

ΦΑΡΜΑΚΟΛΟΓΙΑ.— 'Η καμπύλη υπησιμότητος έξι άνοξίας τῶν λευκῶν μυῶν κατόπιν ένέσεως ἀδρεναλίνης, ὑπὸ K. Μοίρα καὶ A. Κουτσελίνη*. Ἀνεκοινώθη ὑπὸ τοῦ κ. Γεωργ. Ιωακείμογλου.

Αἱ ὄρμόναι τοῦ ψυρεοειδοῦς καὶ τῶν ἐπινεφριδίων αὐξάνονται τὴν B.A.Y.¹ διαφόρων πειραματοζώων. 'Η αὐξησις αὕτη παρετηρήθη καὶ ἐπὶ τοῦ ἀνθρώπου (1, 2).

Διὰ τὴν ἐνέργειαν αὐτὴν περισσότερον ἐμελετήθησαν ἡ ψυροξίνη καὶ ἡ ἀδρεναλίνη, ἡ συνδεδυασμένη χορήγησις τῶν ὅποιων παρουσιάζει σοβαράς ἐνδείξεις συνεργίας ὅσον ἀφορᾶ εἰς τὴν αὐξησιν τῆς B. A. Y. (3, 4, 5, 6).

'Ἐπὶ τοῦ φυσιολογικοῦ ἀνθρώπου ἡ χορήγησις ἀδρεναλίνης αὐξάνει ὀλίγον μόνον τὴν B. A. Y., ἐνῷ ἡ ἐνεσίς τῆς εἰς ὑπερψυρεοειδικὰ ἀτομα προκαλεῖ πολὺ μεγαλυτέρων αὐξησιν². ('Η αὐξησις αὕτη ἀπετέλεσε καὶ διαγνωστικὸν σημεῖον τῆς νόσου)³.

Αἱ παρατηρήσεις αὐταὶ ἀπέκτησαν καὶ ὄλλην σημασίαν διὰ τῶν γενομένων κατὰ τὰ τελευταῖα ἔτη ἐρευνῶν ἔξι ὕπον προέκυψεν ὅτι αἱ ἀποδιδόμεναι εἰς τὴν ψυροξίνην ἐνέργειαι ἀνήκουν εἰς ὄλλας συγγενεῖς πρὸς αὐτὴν ἐνώσεις (7, 8, 9, 10, 11), παραγομένας κυρίως εἰς τὸν τόπον ἐνέργειας αὐτῆς (12, 13, 14, 15, 16).

'Η λίαν ἐνδιαφέρουσα αὕτη ἀποψίς διὰ νὰ ἀποδειχθῇ πλήρως ἀπαιτεῖ τὴν μελέτην τῶν διαφόρων σταδίων ἀνταλλαγῆς τῆς ὄρμόνης εἰς τοὺς ιστούς. 'Ἐπὶ τοῦ ση-

* K. MOIRAS and A. KOUTSELINIS, Application of anoxia method on adrenalin treated mice.

¹ Βασικὴ ἀνταλλαγὴ τῆς οξείας.

² 'Απὸ πολλῶν ἥδη ἐτῶν αἱ κλινικαὶ παρατηρήσεις ὠθησαν εἰς τὴν εἰσαγωγὴν τῶν ἀδρενολυτικῶν παραγόντων εἰς τὴν θεραπείαν τοῦ ὑπερψυρεοειδισμοῦ. 'Η ἐφαρμογὴ αὕτη δὲν ἔλαβε μεγάλην ἐπασιν κυρίως λόγῳ τῶν ἀνεπιθυμήτων ἐνέργειῶν τῶν ἀλκαλοειδῶν τῆς ἐρυσιβώδους δλύρας, τὰ διοῖα ἐχρησιμοποιήθησαν πρὸς τὸν σκοπὸν αὐτόν.

³ Δοκιμασία κατὰ Goetsch.